

05,11

## Скачкообразные процессы магнитного разупорядочения, стимулированные магнитным полем в системах со структурной неустойчивостью

© В.И. Вальков<sup>1</sup>, А.В. Головчан<sup>1</sup>, В.В. Коледов<sup>2</sup>, Б.М. Тодрис<sup>1</sup>, В.И. Митюк<sup>3</sup>

<sup>1</sup> Донецкий физико-технический институт им. А.А. Галкина, Донецк, Украина

<sup>2</sup> Институт радиотехники и электроники им. В.А. Котельникова РАН, Москва, Россия

<sup>3</sup> НПЦ НАН Беларуси по материаловедению, Минск, Беларусь

E-mail: valkov09@gmail.com

Поступила в Редакцию 30 декабря 2019 г.

В окончательной редакции 30 декабря 2019 г.

Принята к публикации 10 января 2020 г.

Проведен теоретический анализ особенностей структурных и магнитоструктурных переходов 1-го рода в магнитокалорических гелимагнитных сплавах системы  $Mn_{1-x}Cr_xNiGe$ . Для описания наблюдаемых структурных переходов типа смещения  $hex(P6_3/mmc) \leftrightarrow orth(Pnma)$  использовалась модель локальной мягкой моды в приближении смещенного гармонического осциллятора. В отсутствие магнитного поля возникновение гелимагнитного порядка, как структурно-индуцированного перехода 2-го рода описывалось в рамках модели Гейзенберга при учете зависимости обменных интегралов от параметров структурного порядка и упругих деформаций. В присутствии магнитного поля обнаружено, что сближение характерных температур для гелимагнитного (НМ( $Pnma$ )) и температур лабильности гексагонального парамагнитного (РМ( $P6_3/mmc$ )) состояний, обусловленное воздействием магнитного поля, приводит к появлению ранее не исследованных периферийных магнитоструктурных переходов 1-го рода с незначительными скачками намагниченности, возрастающими при увеличении индукции магнитного поля. При этом по мере увеличения давления до 4 kbar при постоянной индукции магнитного поля периферийные переходы трансформируются в реверсивные магнитоструктурные переходы 1-го рода, а при еще больших давлениях (10–14 kbar) в полноценные магнитоструктурные переходы 1-го рода со скачками намагниченности, соизмеримыми с максимальным значением намагниченности. Экспериментальные барические исследования температурных зависимостей намагниченности в статических магнитных полях с индукцией до 1 Т и давлением до 14 kbar, подтверждают теоретические результаты.

**Ключевые слова:** магнитоструктурный переход, мягкая мода, гелимагнетизм, периферийные переходы, реверсивные переходы 1-го рода, магнитоупругие, смещенный гармонический осциллятор.

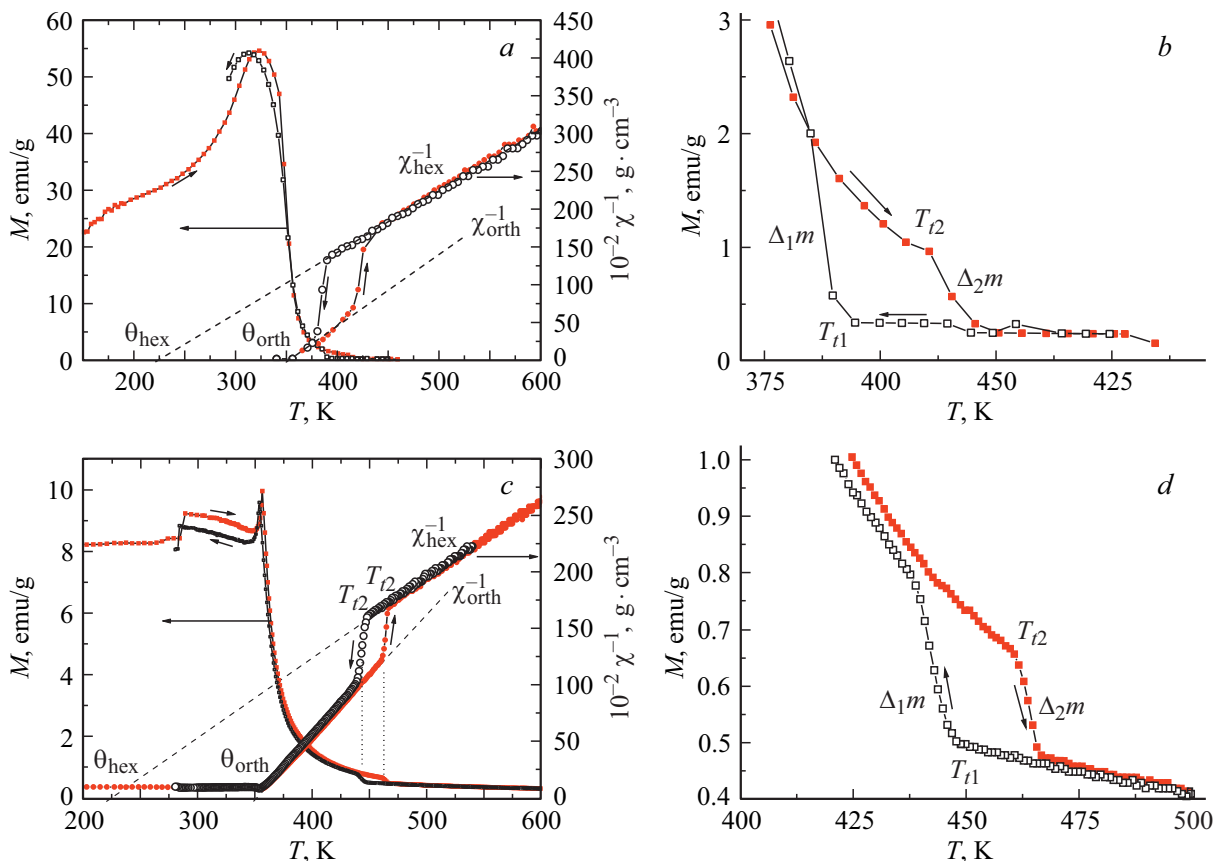
DOI: 10.21883/FTT.2020.05.49234.05M

### 1. Введение

Экспериментальные исследования воздействия магнитного поля на магнитные фазовые переходы не перестают быть актуальными как с позиции сугубо научного интереса, так и с позиции возможности прикладного использования различных магнитополевых эффектов. К таким эффектам относятся колоссальное магнитосопротивление в манганите лантана [1], обратимое и необратимое индуцирование магнитным полем новых фаз в железомарганцевых арсенидах [2,3] и гигантский магнитокалорический эффект в ряде пниктидов и германидов переходных металлов [4,5]. В большинстве случаев эти эффекты сопровождаются существенным смещением границ магнитных фазовых переходов под действием магнитного поля. При этом ряду особенностей магнитных фазовых переходов в магнитном поле присущи некоторые общие закономерности. Например, возрастание магнитного поля приводит к ослаблению

скачкообразных процессов, сопровождающих магнитные фазовые переходы 1-го рода, поскольку магнитные характеристики конкурирующих фаз до и после точки перехода сближаются и в полях с большой индукцией становятся почти неразличимыми. Однако это верно только для традиционно тривиального случая систем, в которых магнитные и кристаллоструктурные (далее структурные) переходы существенно разнесены по температуре и не совмещаются при экспериментально достижимом возрастании индукции магнитного поля.

В настоящей работе в рамках модели мягкой моды для структурного перехода проведен теоретический анализ появления скачкообразных изменений магнито-структурных характеристик под действием магнитного поля или давления в системе  $Mn_{1-x}Cr_xNiGe$ , в которой структурный парамагнитный (РМ) переход 1-го рода типа смещения из гексагонального в ромбическое состояние  $PM(P6_3/mmc) \leftrightarrow PM(Pnma)$  несущественно отделен по температуре от изоструктурного магнит-



**Рис. 1.** Экспериментальные температурные зависимости намагниченности  $M$  (квадраты) и обратной магнитной восприимчивости  $\chi^{-1}$  (кружки) в сплавах системы  $Mn_{1-x}Cr_xNiGe$  ( $a, b - x = 0.11$  [6],  $c, d - x = 0.04$ ) в магнитном поле  $H_0 = 0.86$  Т;  $b, d$  — фрагменты высокотемпературных участков зависимостей  $M(T)$ ; темные символы — нагрев, светлые — охлаждение.

ного перехода 2-го рода парамагнетик-гелимагнетик  $PM(Pnma) \leftrightarrow HM(Pnma)$ . Рассматриваемый подход позволил описать экспериментально наблюдаемое расщепление обратной парамагнитной восприимчивости  $\chi^{-1}(T)$  в области температур структурного перехода для случая, когда гексагональное и ромбическое магнитоупорядоченные состояния являются неколлинеарными. Также дается объяснение изменению рода фазового перехода при реверсивном изменении температуры, которое наблюдается в ряде образцов исследуемой системы при атмосферном давлении ( $x = 0.18$ ) [6] или под давлением ( $x = 0.11$ ) [7].

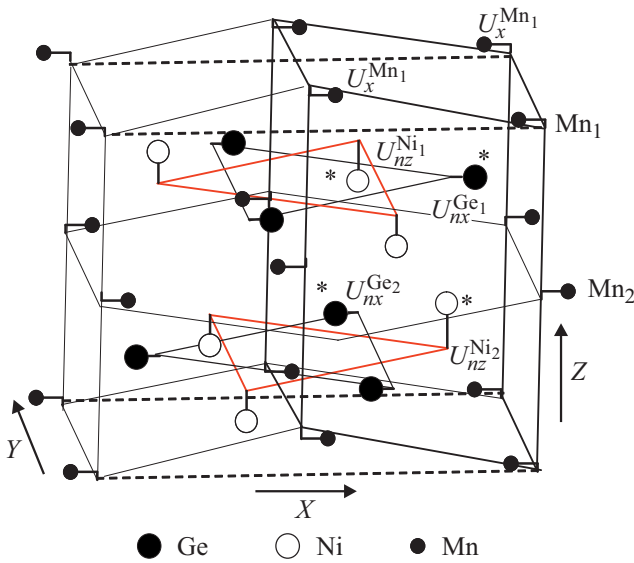
## 2. Исходные экспериментальные результаты

Особенности аномального поведения магнитоструктурных характеристик сплавов системы  $Mn_{1-x}Cr_xNiGe$  отчетливо демонстрируют экспериментальные температурные зависимости намагниченности  $M(T)$  и обратной магнитной восприимчивости  $\chi^{-1}(T)$ , приведенные на рис. 1. Например, скачкообразное расщепление зависимостей на две ветви при температурах и связано с парамагнитным структурным переходом 1-го рода [6].

Температуры  $T_{12}(x)$  и  $T_{11}$  согласно [6], соответствуют температурам лабильности конкурирующих структурных фаз: ромбической  $orth(Pnma)$  (элементарная ячейка типа  $TiNiSi$ ) и гексагональной  $hex(P6_3/mmc)$  (элементарная ячейка типа  $Ni_2In$ ), рис. 2.

Присутствие максимума на зависимости  $M(T)$  при низких температурах еще одна особенность, сопровождающая, как правило, стабилизацию различного типа антиферромагнитного упорядочения вблизи температуры Нееля  $T = T_N \geq \theta_{orth}$ . Таким образом, зависимость  $M(T)$  подтверждает результаты нейтронографии этих германидов [8], из которых следует, что магнитный порядок в ромбическом состоянии для  $x \leq 0.11$  соответствует геликоидальной структуре с волновым вектором  $k = k_z(x)$ .

Следующая особенность проявляется на периферийном высокотемпературном участке температурной зависимости намагниченности  $M(T)$ . Плавная безгистерезисная зависимость  $M(T)$ , характерная для магнитных фазовых переходов 2-го рода, в магнитном поле на высокотемпературных участках изменяется скачком (скачки намагниченности  $\Delta_1 m(T_{12}) > \Delta_2 m(T_{11})$ ) и температурный гистерезис  $\Delta T = T_{12} - T_{11}$ , что характерно для магнитных фазовых переходов 1-го рода. Отличительной особенностью этих периферийных переходов является невозможность их существования в отсутствие магнит-



**Рис. 2.** Локальные оптические смещения  $U_{nz}^{Ni_1}$ ,  $(U_{nz}^{Ni_2})$ ,  $U_{nx}^{Ge_1}$ ,  $(U_{nx}^{Ge_2})$  атомов Ni и Ge соответственно, относящиеся к  $n$ -й гексагональной ячейке  $MnNiGe$  типа  $Ni_2In$  (показана жирными линиями). Звездочками помечены пары атомов, принадлежащие  $n$ -ячейке; штриховыми линиями выделен базисный участок ромбической ячейки типа  $TiNiSi$ ;  $U_{nx}^{Mn_1}$ ,  $(U_{nx}^{Mn_2})$  — нелокальные, принадлежащие разным ячейкам, оптические смещения атомов  $Mn_1$  ( $Mn_2$ ).

ного поля, поскольку для скомпенсированного антиферромагнетика или гелимагнетика отсутствует спонтанная намагниченность, а значит и связанные с ней аномалии.

### 3. Гамильтониан и свободная энергия магнитоупругой системы с мягкой модой

При всем различии химического состава некоторые пниктиды и германиды Mn обладают рядом одинаковых структурных характеристик. Так, в сплавах на основе  $MnAs$  структурный переход  $PM(P6_3/mmc) \leftrightarrow PM(Pnma)$  из гексагональной фазы в ромбическую определяется, согласно расчетам фононного спектра [9], размягчением мягкой моды с волновым вектором  $q_1 = (0.5, 0, 0)$  и замораживанием локальных оптических колебаний атомов мышьяка. В сплавах на основе  $MnNiGe$  в элементарной гексагональной ячейке (жирные линии на рис. 1) внутренними локальными позициями являются позиции Ni и Ge. Структурный переход  $PM(P6_3/mmc) \leftrightarrow PM(Pnma)$  в ромбическую фазу можно, по аналогии с  $MnAs$ , связать с замораживанием оптических колебаний атомов Ni и размягчением соответствующей локальной моды. При этом в обоих случаях структурный переход  $PM(P6_3/mmc) \leftrightarrow PM(Pnma)$  понижает симметрию решетки и приводит к удвоению периода элементарной ячейки в плоскости перпендикулярной гексагональной оси  $C_{hex} \parallel Oz \parallel c_{hex} = a_{orth} = q_0$ . Поэтому ромбическая элементарная ячейка (штриховые ли-

нии на рис. 2) является удвоенной по отношению к гексагональной (жирные линии на рис. 2). При этом происходит такая стабилизация упругих деформаций —  $e_2 = (e_{xx} - e_{yy})/\sqrt{3} \neq 0$  ромбической ячейки как целого, а в системе  $MnNiGe$  приводит также и к изменению ее объема —  $e_1 = (e_{xx} + e_{yy} + e_{zz}) \neq 0$  и ее размера вдоль гексагональной оси  $e_3 = e_{zz} = \Delta a_0/a_0 \neq 0$ .

Поскольку в элементарной гексагональной ячейке можно выделить локальные (внутренние для выделенной ячейки) смещения атомов, приводящие к структурному переходу в ромбическое состояние, то для описания структурных переходов  $PM(P6_3/mmc) \leftrightarrow PM(Pnma)$  в системе  $Mn_{1-x}Cr_xNiGe$  используем приближение локальной моды  $Q_{na}$ , в котором учитываются только степени свободы связанные с этой модой [10]. Амплитуду нормированной локальной мягкой моды  $Q_n(j, q_1)$  для  $n$ -й гексагональной элементарной ячейки, рис. 2 определим через оптические колебательные смещения атомов Ni выражением

$$Q_n(j, q_1) = \frac{a_0 \sqrt{m_{Ni}}}{\sqrt{N}} [(u_{nz}^2 - u_{nz}^1)/a_0] = \frac{a_0 \sqrt{m_{Ni}}}{\sqrt{N}} Q_n, \quad (1)$$

где  $N, m_k$  — число элементарных ячеек и масса  $k$ -х ( $k = 1, 2$ ) атомов внутри  $n$ -й ячейки (в данном случае 2-х атомов Ni);  $j = 1, 2, \dots, s$ ;  $s$  — число атомов, приходящихся на исходную элементарную ячейку;  $u_{na}^k$  — смещения  $k$ -х атомов внутри  $n$ -й элементарной ячейки вдоль  $\alpha(x, y, z)$  — направления от положения равновесия  $r(n, k) = a_n + r_n^k$  в гексагональной ячейке  $Ni_2In$ ;  $a_n$  — вектор прямой решетки;  $r_n^k$  — радиус вектор, определяющий положение  $k$ -го атома внутри  $n$ -й элементарной ячейки типа  $Ni_2In$ .

Из (1) видно, что среднее тепловое значение  $\langle Q_n \rangle \equiv Q_0 = (\langle u_{nz}^3 \rangle - \langle u_{nz}^2 \rangle)/a_0 \equiv (U_{nz}^{Ni1} - U_{nz}^{Ni2})/a_0 = 2U_{nz}^{Ni}/a_0$  соответствует неприводимому вектору смещения атомов Ni в выделенной  $n$ -й элементарной ячейке и является параметром структурного порядка, (рис. 2).

Эффективный гамильтониан  $H(Q_n)$ , который включает гармонические и ангармонические слагаемые потенциальной энергии  $V(Q_n)$  в одной элементарной ячейке и парные взаимодействия  $v_{nn'}$  между локальными смещениями в разных элементарных ячейках, может быть приведен к виду [10]:

$$H(Q_n) = \sum_n \left[ \frac{1}{2m} P_n^2 + V(Q_n) \right] - \frac{1}{2} \sum_{nn'} v_{nn'} Q_n Q_{n'}, \quad (2a)$$

$$V(Q_n) = \frac{1}{2} m \omega_0^2 Q_n^2 + \frac{1}{4} \gamma Q_n^4 + \frac{1}{6} \Gamma Q_n^6, \quad (2b)$$

где  $P_n = m \sum_k (\dot{Q}_n)$ ;  $\omega_0^2 > 0$ ,  $\gamma > 0$ ,  $\Gamma > 0$ .

Полный гамильтониан магнитоупругой системы с учетом (2) имеет вид

$$H = H(Q_n) + H(e_1, e_2, e_3) + H(s), \quad (3)$$

$$H(e_1, e_2, e_3) = \frac{1}{2} e_1^2 k_0 + \frac{1}{2} k_z e_3^2 + \frac{1}{2} k_0 e_1 e_3 + \frac{1}{2} k_1 (e_2)^2 + P e_1 - T(v_0 e_1 + v_z e_3), \quad (4)$$

$$H(s) = - \sum_{ni, n'i'} J_{nn'ii'} s_n^i s_{n'}^{i'} + g \mu_0 H_{0z} \sum_{ni} s_{nz}^i, \quad (5a)$$

$$J_{nn'ii'}^i \equiv J(\Delta R_{nn'ii'}^i), \quad (5b)$$

где  $s_n^i$  — оператор спина  $i$ -го атома Mn в  $n$ -й ячейке Ni<sub>2</sub>In в положении  $R_n^i = a_n + r_n^i + U_n^i(Q_0) \equiv R_n^i(\text{hex}) + U_n^i(Q_0)$ ;  $J(\Delta R_{nn'ii'}^i)$  — интегралы обменного взаимодействия между магнитоактивными атомами на расстоянии  $\Delta R_{nn'ii'}^i = \Delta a_{nn'} + \Delta r_{nn'}^{ii'} + \Delta U_{nn'}^{ii'}(Q_0) \equiv \Delta R_{nn'ii'}^i(\text{hex}) + \Delta U_{nn'}^{ii'}(Q_0)$ ;  $\Delta R_{nn'ii'}^i(\text{hex}) = \Delta R_{nn'ii'}^i(e_1, e_3)$ ;  $\sum_n = N_0$  и  $\sum_i = N$  — число элементарных ячеек и число атомов Mn в единице объема,  $H_{0z}$  — внешнее магнитное поле,  $\mu_0$  — магнетон Бора поля;  $g = 2$ .

Для качественного описания магнитоструктурных переходов типа „смещения“ используем приближение молекулярного поля (ПМП). В ПМП для структурной подсистемы координатная часть одночастичной матрицы плотности определяется выражением

$$\rho_n(Q_n) = \frac{1}{Z_n} \exp\{-\beta[V(Q_n) - H_n Q_n]\},$$

где  $Z_n = \int_{-\infty}^{+\infty} \exp\{-\beta[V(Q_n) - H_n Q_n]\} dQ_n$ ;  $H_n = \sum_{n'} v_{nn'} \langle Q_{n'} \rangle$ ;

$$\langle A(Q_n) \rangle = \int_{-\infty}^{+\infty} \rho_n(Q_n) A(Q_n) dQ_n.$$

Свободная энергия в ПМП определяется выражением  $\Omega(Q_0, \sigma) = \langle H(Q_n) \rangle - TS(\rho)$ , где  $S(\rho) = -k_B \sum_n \langle \ln \rho_n \rangle$ . Однако, из-за присутствия ангармонических слагаемых величину  $\rho_n(Q_n)$  невозможно вычислить даже в рамках ПМП. Поэтому  $\rho_n(Q_n)$  аппроксимируют пробной плотностью вероятности  $\rho_{0n}(Q_n)$ , отвечающей смещенному гармоническому осциллятору

$$\rho_{0n}(Q_n) = \frac{1}{\sqrt{2\pi\sigma}} \exp\left[-\frac{(Q_n - Q_0)^2}{2\sigma}\right], \quad (6a)$$

$$\sigma = \langle [Q_n - Q_0]^2 \rangle. \quad (6b)$$

При этом среднее значение  $Q_0 = \int_{-\infty}^{\infty} \rho_{0n}(Q_n)(Q_n) dQ_n$ , отождествляемое с параметром структурного порядка, и дисперсия  $\sigma = \langle [Q_n - Q_0]^2 \rangle$  рассматриваются как независимые вариационные параметры и определяются из минимизации свободной энергии, которая приводится к виду

$$\Omega(Q_0, \sigma, e) = \frac{1}{2} \sum_n m \omega_0^2 \langle Q_n^2 \rangle + \frac{1}{4} \gamma \sum_n \langle Q_n^4 \rangle + \frac{1}{6} \Gamma \sum_n \langle Q_n^6 \rangle - \frac{1}{2} \sum_{nn'} v_{nn'} \langle Q_n \rangle \langle Q_{n'} \rangle - TS(\rho), \quad (7)$$

$$S(\rho) = -k_B \sum_n \langle \ln \rho_n \rangle = \frac{k_B}{2} N_0 \ln \sigma, \quad (8)$$

$$\langle Q_n^2 \rangle = Q_0^2 + \sigma, \quad \langle Q_n^4 \rangle = Q_0^4 + 6Q_0^2 \sigma + 3\sigma^2,$$

$$\langle Q_n^6 \rangle = Q_0^6 + 15Q_0^4 \sigma + 45Q_0^2 \sigma^2 + 15\sigma^3, \quad (9a)$$

$$\frac{1}{2} \sum_{nn'} v_{nn'} \langle Q_n \rangle \langle Q_{n'} \rangle = \frac{1}{2} N_0 Q_0^2 \sum_{n'} v_{nn'}$$

$$\equiv \frac{1}{2} N_0 Q_0^2 V_0(e_1, e_2) = \frac{1}{2} N_0 Q_0^2 V_0(1 + L_1 e_1 + L_2 e_2). \quad (9b)$$

В приближении среднего поля термодинамический потенциал слоистого магнетика с волновым вектором магнитной структуры  $\mathbf{k}(0, 0, k_a)$ , образованной магнитными моментами ферромагнитных слоев [8] в магнитном поле  $\mathbf{H}_0(0, 0, H_{0z}) \parallel \mathbf{k}(0, 0, k_a)$ , можно представить в виде

$$\Omega_s(y) = N(J(k) \sin^2(\vartheta) + J(0) \cos^2(\vartheta)) s^2 y^2 - N k_B T \ln Z(X), \quad (10)$$

где  $s$  — собственное значение оператора спина  $s$ ,  $y = \langle s_n^i \rangle / s$  — относительное значение магнитного момента  $i$ -го атома Mn, соответствующее параметру магнитного порядка в геликоидальном состоянии

$$X(y) = \left[ 2s^2 y [J(k) \sin^2(\vartheta) + J(0) \cos^2(\vartheta)] + g \mu_0 s H_{0z} \cos \vartheta \right] / k_B T, \quad (11a)$$

$$Z(X(y)) = \left[ \text{sh}(1 + (2s)^{-1}) X(y) \right] / \text{sh} \left[ (2s)^{-1} X(y) \right], \quad (11b)$$

$$J(k) = J(k_a) = J_0(Q_0, e_1 - e_3) + J_1(Q_0, e_1, e_3) \cos \Psi + J_2(Q_0, e_1, e_3) \cos 2\Psi. \quad (11c)$$

Тут  $\vartheta$  — угол между направлением локальной оси квантования и направлением внешнего поля  $H_{0z}$ ;  $\Psi = k_a \pi$  и  $2\Psi$  — углы между спинами атомов, расположенных в ближайших ферромагнитных слоях гексагональной ячейки, перпендикулярных гексагональной оси  $C_h \parallel 0z \parallel c_h$  и расположенных на расстоянии  $c_h/2$  и  $c_h$  соответственно;  $J_0(Q_0, e_1 - e_3)$ ,  $J_1(Q_0, e_1, e_3)$  и  $J_2(Q_0, e_1, e_3)$  межатомные обменные интегралы внутри ферромагнитного слоя и между ближайшими слоями на расстояниях  $c_h/2$  и  $c_h$ .

Можно показать, что при  $J_1(Q_0, e_1, e_3) > 0$ ,  $J_2(Q_0, e_1, e_3) < 0$  конкурирующими состояниями будут только геликоидальное ( $\cos \Psi = J_1(Q_0, e_1, e_3)/4 \times |J_2(Q_0, e_1, e_3)| = \delta < 1$ ) с более высоким значением величины  $J(k)$  ( $J(k) = J_0(Q_0, e_1, e_3) + (2\delta^2 + 1) \times |J_2(Q_0, e_1, e_3)|$ ) и ферромагнитное ( $\Psi = 0$ ) с более низким значением величины  $J(0)$  ( $J(0) = J_0(Q_0, e_1, e_3) + (4\delta - 1)|J_2(Q_0, e_1, e_3)|$ ), поскольку при  $\delta < 1$

$$\Delta J/(k) \equiv J(k) - J(0) = 2(\delta - 1)^2 |J_2(Q_0, e_1, e_3)| > 0. \quad (12)$$

Согласно экспериментальным данным (рис. 1), для парамагнитных температур Кюри ромбической  $\theta_{[orth]} = T_{Corth}$  и гексагональной  $\theta_{hex} = T_{Chex}$  фаз, которые в ПМП совпадают с соответствующими температурами Кюри  $T_{Corth}$ ,  $T_{Chex}$ , должно выполняться неравенство  $\theta_{hex} \ll \theta_{orth}$ . Температура Нееля  $T_{North}$ , как и другие характерные температуры, определяемые из соответствующих уравнений (13), должна удовлетворять неравенству  $T_{r1} > T_{North} \geq \theta_{orth}$ .

$$T_{Corth} = \frac{2}{3K_B} \left[ J_0(Q_0, e_1 e_3) + (2(\delta = 1)^2 + 1) |J_2(Q_0, e_1, e_3)| \right] s(s+1), \quad (13a)$$

$$T_{Chex} = \frac{2}{3K_B} \left[ J_0(Q_0 = 0, e_1, e_3) + (4(\delta - 1) - 1) |J_2(Q_0 = 0), e_1 e_3| \right] s(s+1), \quad (13b)$$

$$T_{North} = \frac{2}{3K_B} \left[ J_0(Q_0, e_1, e_3) + (2(\delta)^2 + 1) |J_2(Q_0, e_1 e_3)| \right] s(s+1). \quad (13c)$$

Равновесные величины  $Q_0(T)$ ,  $e_1(T, P)$ ,  $e_3(T, P)$  в (13) определяются из уравнений состояния  $\partial\Omega/\partial\vartheta = 0$ ,  $\partial\Omega/\partial Q_0 = 0$ ,  $\partial\Omega/\partial e_1 = 0$ ,  $\partial\Omega/\partial e_2 = 0$ ,  $\partial\Omega/\partial e_3 = 0$ ,  $\partial\Omega/\partial\sigma = 0$  при  $y = \vartheta = 0$  и выражение для полного термодинамического потенциала (ПТП)  $\Omega = \Omega(Q_0, \sigma, e) + \Omega_S(y) + \Omega(e)$  (тут  $\Omega(e)$  совпадает с правой частью  $H(e_1, e_2, e_3)$ ).

Величины  $J(k)$ ,  $J(0)$  можно представить в виде разложения по линейным комбинациям деформаций и четным степеням параметров структурного порядка

$$J(k) = J_{00} \left( 1 + \lambda_{0e}(e_1 - e_3) + Q_0^2(\lambda_{0Q} + \lambda_{0eQ}(e_1 - e_3)) + \lambda_4 Q_0^4 \right) + |J_{20}| \left( 1 + Q_0^2(\lambda_{2Q} + \lambda_{2eQ} e_1) + \lambda_{2e} e_1 \right) (2\delta^2 + 1), \quad (14a)$$

$$J(0) = J_{00} \left( 1 + \lambda_{0e}(e_1 - e_3) + Q_0^2(\lambda_{0Q} + \lambda_{0eQ}(e_1 - e_3)) + \lambda_4 Q_0^4 \right) + |J_{20}| \left( 1 + Q_0^2(\lambda_{2Q} + \lambda_{2eQ} e_1) + \lambda_{2e} e_1 \right) (4\delta - 1), \quad (14b)$$

где комбинация деформаций  $e_1 - e_3$  пропорциональна изменению размеров площади элементарной ячейки в базисной плоскости; величина

$$\delta = \cos \Psi = J_{10} \left( 1 + Q_0^2(\lambda_{1Q} + \lambda_{1eQ} e_1) + \lambda_{1e} e_1 \right) / 4 |J_{20}| \times \left( 1 + Q_0^2(\lambda_{2Q} + \lambda_{2eQ} e_1) + \lambda_{2e} e_1 \right)$$

приближенно определяется как постоянная ( $\delta = J_{10}/4|J_{20}|$ ). Во всяком случае, такое допущение, согласно нейтронографическим исследованиям в [8], приемлемо для исследуемых в настоящей работе образцов с  $x = 0.04$  ( $\delta \approx 0.81-0.85$ ) и  $x = 0.11$  ( $\delta \approx 0.87-0.93$ ).

#### 4. Анализ магнитоструктурных особенностей гелимагнитных сплавов системы $Mn_{1-x}Cr_xNiGe$ на основе модели мягкой моды

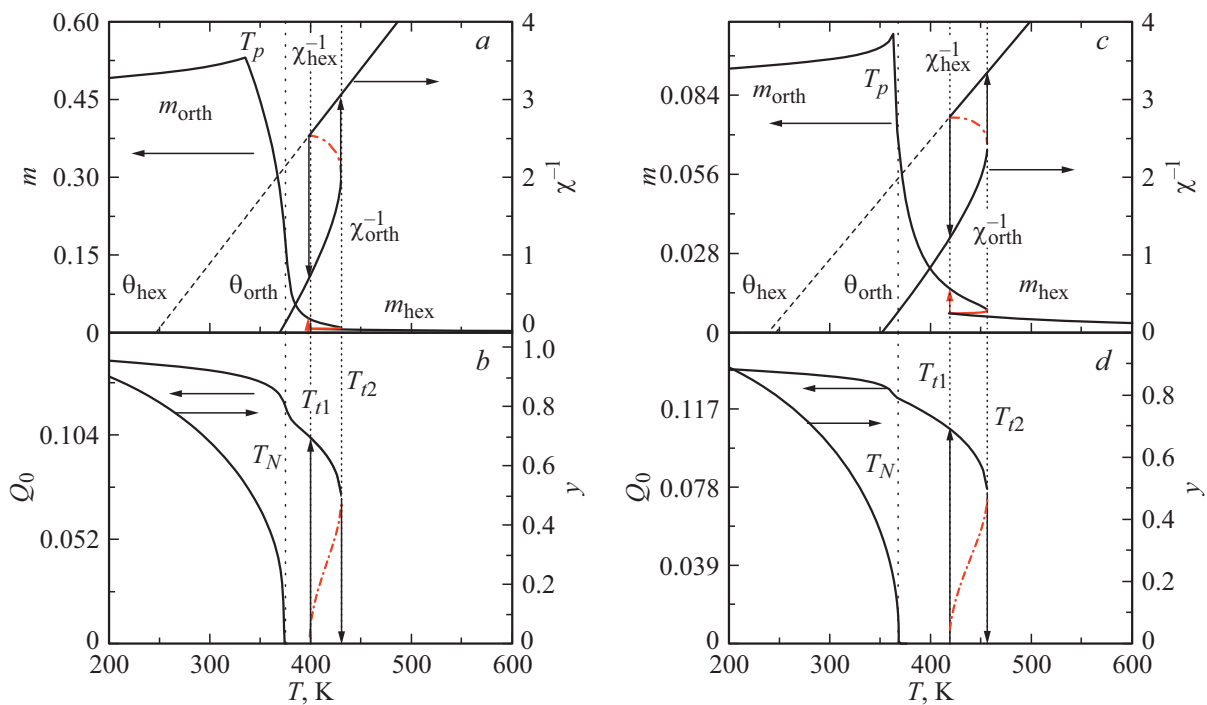
Численное решение уравнений  $\partial\Omega/\partial Q_0 = 0$ ,  $\partial\Omega/\partial y = 0$  наряду с аналитическими решениями остальных уравнений состояния показывает, что при достаточно сильном взаимодействии между фононной подсистемой и упругими деформациями ( $L_1 \geq L_{1k} > 0$ ,  $L_2 \leq L_{2k}$ ) зависимость ( $Q_0(T)$ ) будет описывать скачкообразную кривую, соответствующую переходу 1-го рода; для температур лабильности при этом выполняются неравенства  $\partial T_{1,2}/\partial P < 0$ ,  $\partial(T_{r2} - T_{r1})/\partial P < 0$ . Если к тому же обеспечить выполнение неравенств  $T_{r1} > T_{North} \geq \theta_{orth}$  путем подгонки наборов коэффициентов  $\lambda_{je}$ ,  $\lambda_{jQ}$ ,  $\lambda_{jeQ}$  ( $j = 0, 1, 2$ ), то можно перейти к анализу нетривиальных особенностей поведения магнитоструктурных характеристик в исследуемой системе. Отметим, что последующие теоретические вычисления проведены при использовании упрощенного набора характерных деформаций: объемных —  $e_1$  и ромбических —  $e_2$  при  $\lambda_{0e} = \lambda_{1e} = \lambda_{2e}$ . Тогда для безразмерной восприимчивости  $\chi^{-1}(T, Q_0) = h/y \cos \vartheta$  при  $h \rightarrow 0$  из уравнения  $\partial\Omega/\partial y = 0$  можно получить выражение

$$\chi^{-1}(T, Q_0) = \frac{T}{T_0} - \left[ rF(\delta) + Q_0^2 \times \left[ \lambda_F + \left( \alpha T - P\kappa + \frac{v_0 L_1 Q_0^2 \kappa}{2} \right) \lambda_{1F} \right] + \lambda_4 Q_0^4 \right], \quad (15)$$

где  $T_0 = \frac{2}{3K_B} J_{00} s(s+1)$ ;  $rF(\delta) = 1 + z(4\delta - 1)$ ;  $z = J_{20}/J_{00}$ ;  $\lambda_F = \lambda_{00} + z(4\delta - 1)\lambda_{20}$ .

##### 4.1. Слабые магнитные поля

В исчезающе слабых магнитных полях и полях с индукцией до 1Т теоретические зависимости магнитоструктурных характеристик (рис. 3) легко могут быть сопоставлены с экспериментальными высокотемпературными измерениями при атмосферном давлении (до 700 К), барических измерениями при температурах до 350 К, а также с результатами нейтронографических исследований [8]. Согласно рис. 3  $b, d$  характерной особенностью зависимости  $Q_0(T)$ , описывающей парамагнитный структурный переход  $hex(P6_3/mmc) - orth(Pnma)$  является наличие температурного гистерезиса  $\Delta T = T_{r2} - T_{r1}$ , внутри которого зависимость  $Q_0(T)$ , обозначенная штрихпунктирной линией, соответствует метастабильному состоянию, которое является максимумом термодинамического потенциала и разделяет стабильные ромбическое  $Q_0(T \leq T_{r1}) \neq 0$  и гексагональное  $Q_0(T \geq T_{r2}) = 0$  состояния. Отсюда становится ясно, что температуры скачкообразного расщепления зависимости  $\chi^{-1}(T, Q_0)$  на две ветви, совпадают с температурами лабильности



**Рис. 3.** Теоретические температурные зависимости, моделирующие магнитные  $\chi^{-1}$  и структурные  $Q_0$  характеристики сплавов  $Mn_{1-x}Cr_xNiGe$ : *a, b* —  $\delta = 0.925$  ( $x = 0.11$ ) и  $x = 0.04$ ; *c, d* —  $\delta = 0.83$  ( $x = 0.04$ ). Безразмерные величины  $m$  и  $Q_0$  рассчитаны в поле  $H_{0z} = 0.86$  Т;  $\gamma$  и  $\chi^{-1}$  в поле  $H_{0z} = 0$ .

парамагнитных ромбической  $T_{t2}$  ( $Q_0 \neq 0$ ) и гексагональной  $T_{t1}$  ( $Q_0 = 0$ ) фаз.

При температурах  $T \leq T_N(\delta) < T_{t1}$  появляется отличное от нуля значение параметра магнитного порядка геликоидального состояния —  $y$ . Зависимость  $y(T)$  при  $H_{0z} = 0$  описывает изоструктурный переход второго рода в гелимагнитную (НМ) фазу (PM(orth)–НМ(orth), степень отклонения которой от ферромагнитной фазы с уменьшением параметра  $\delta$  нарастает (12). Уменьшение этой величины также коррелирует с понижением содержания Cr. Температурная зависимость относительной намагниченности  $m(T)$ , которая связана с параметром гелимагнитного порядка  $y(T)$  соотношением  $m(T) = y(T) \cos \vartheta(T)$  имеет характерный пик (рис. 3) и качественно совпадает с экспериментальными зависимостями  $M(T)$ , рис. 1. Как показывает анализ, температура спонтанного ( $H_{0z} = 0$ ) магнитного упорядочения  $T_N(\delta)$ , соответствующая условию  $y(T_N) = 0$ , тем ближе к температуре пика  $T_p$  зависимости  $m(T)$ , чем меньше значение напряженности магнитного поля. Для выбранного значения напряженности магнитного поля соотношение  $T_p \approx T_N$  лучше выполняется для меньших значений  $\delta$ .

#### 4.2. Сильные магнитные поля

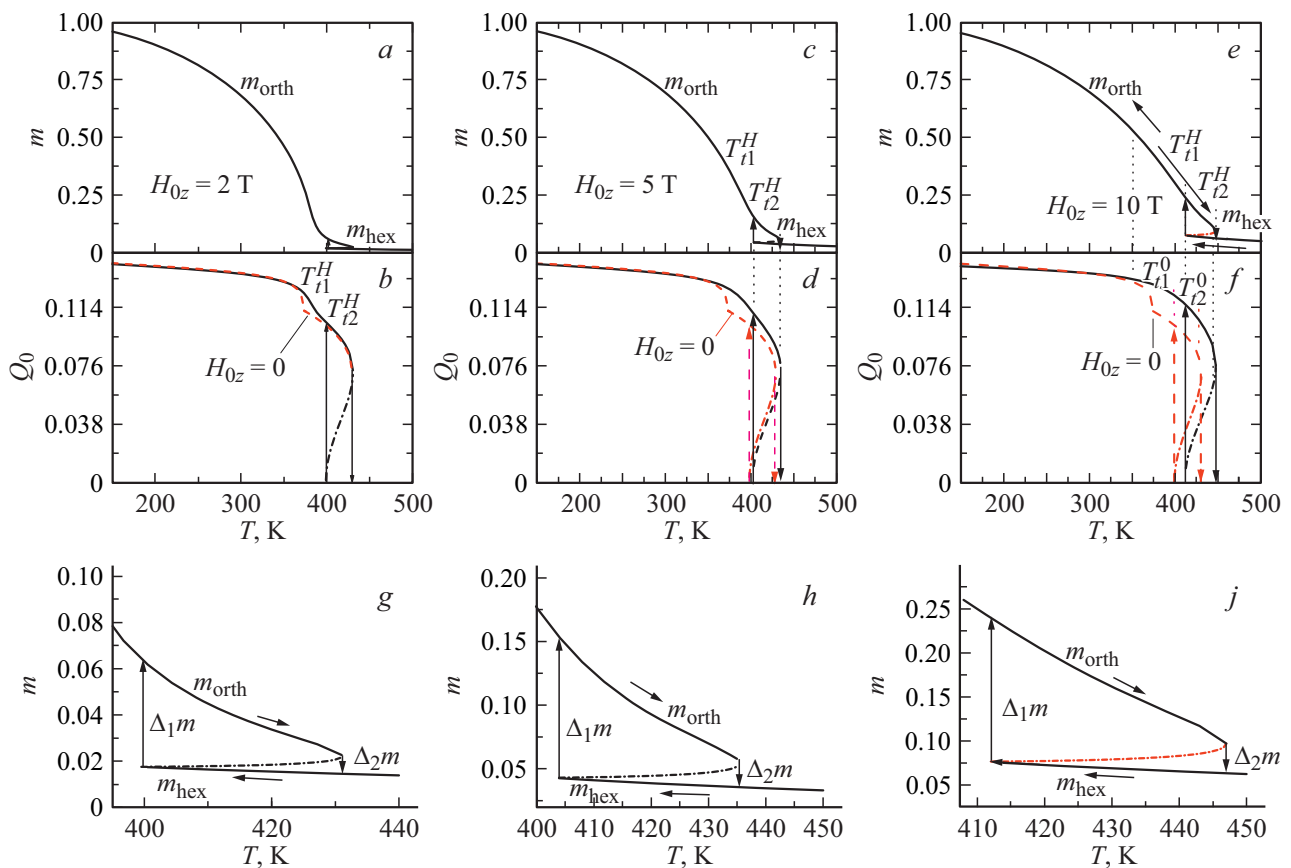
Поясним сказанное на примере анализа теоретических зависимостей  $m(T)$ ,  $Q_0(T)$  в сильных магнитных полях. На рис. 4 эти зависимости рассчитаны для  $\delta = 0.925$  при трех значениях напряженности магнитного поля. При этом пунктирные линии — спонтанные ( $H_{0z} = 0$ )

зависимости параметра структурного порядка; штрихпунктирные линии соответствуют метастабильным состояниям зависимостей  $Q_0(T)$ ,  $m(T)$ ; температура пересечения этих линий и линий  $m_{hex}(T)$  определяет температуру лабильности гексагонального состояния —  $T_{t1}^H \geq T_{t2}(T)$  в магнитном поле; сплошные (пунктирные) вертикальные стрелки вверх и вниз отмечают температуры лабильности в конечном поле  $H = H_{0z}$  (поле  $H_{0z} = 0$ )  $T_{t1}^H$  и  $T_{t2}^H$  ( $T_{t1}^0$  и  $T_{t2}^0$ ).

Здесь можно выделить две основные особенности. Первая — полное подавление гелимагнитного состояния уже в поле  $H_{0z} = 2T$ ; вторая — появление скачков на высокотемпературных участках зависимостей  $m(T)$  (фрагменты на рис. 4, *g, h, j*).

Первая особенность обусловлена энергетической близостью гелимагнитного и коллинеарного ферромагнитного состояний при величине  $\delta = 0.925$ . Например, для случая  $\delta = 0.83$ , который моделирует свойства более устойчивого гелимагнетика  $Mn_{0.96}Cr_{0.04}NiGe$  ( $x = 0.04$ ) полное подавление гелимагнитного состояния (смещения  $T_p(H_{0z})$  из области положительных значений температур) происходит при  $H_{0z} = 10T$ .

Вторая особенность, связанная с началом (завершением) процессов магнитного упорядочения (разупорядочения) обусловлена существенным смещением температур лабильности гексагонального —  $T_{t1}^H$ , ромбического —  $T_{t2}^H$  состояний в поле  $H$  за пределы температур лабильности  $T_{t1}^0$ ,  $T_{t2}^0$  этих состояний без поля  $H = 0$ . Скачки намагниченности  $\Delta_1 m < \Delta_2 m$  в этом случае связаны с различием величин  $m_{orth}(T)$  и  $m_{hex}(T)$  в ромбической и



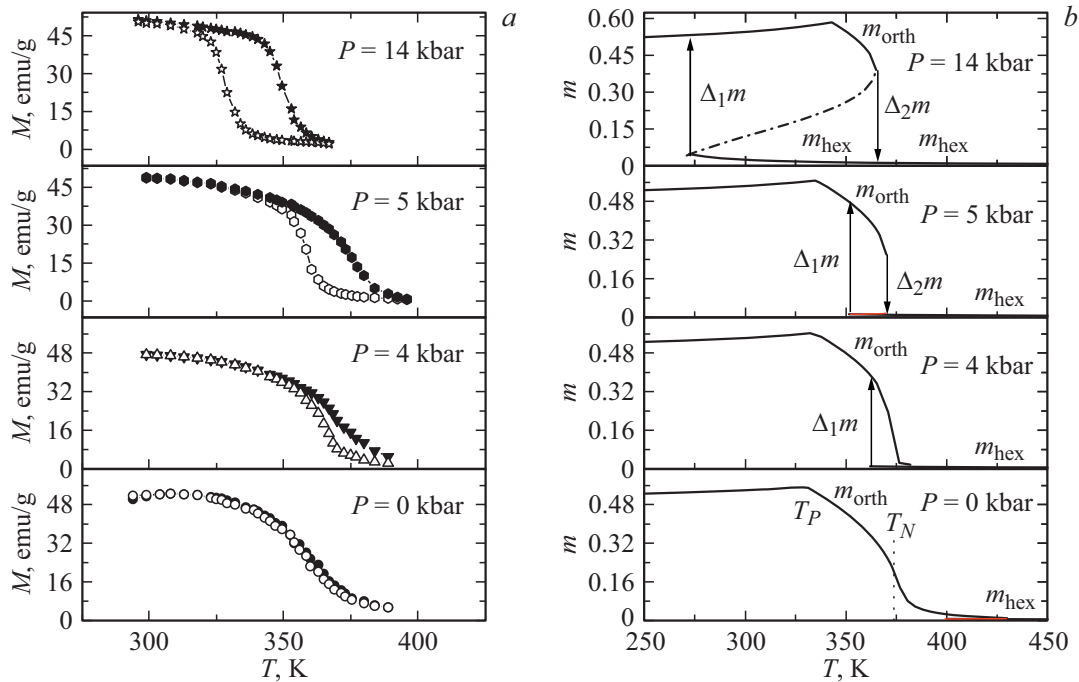
**Рис. 4.** Стимулированные магнитным полем магнитные фазовые переходы 1-го рода беспорядок–беспорядок. *g, h, j* — фрагменты периферийных аномалий зависимостей  $m(T)$ .

гексагональной фазе при одной и той же температуре за пределами температур лабильности  $T_{11}^0, T_{21}^0$ . Поэтому скачкообразная аномалия зависимостей  $m(T)$  может рассматриваться как стимулированное сильным магнитным полем совмещение высокотемпературного периферийного участка магнитного разупорядочения (FM)  $\leftrightarrow$  (PM) и структурного перехода порядок–порядок (hex)  $\leftrightarrow$  (orth). Эти переходы сильнее проявляются в сильных магнитных полях, поскольку как видно из рис. 4, *g, h, j* скачки намагниченности возрастают при возрастании поля. Однако и в слабом магнитном поле эти переходы обнаружены и обеспечивают аномалию обратной РМ-восприимчивости (рис. 1, *b, d*).

#### 4.3. Барическая стимуляция магнитных фазовых переходов 1-го рода

Более существенного эффекта в этом плане можно ожидать от спонтанного совмещения магнитного и структурного переходов. Тогда даже в слабых магнитных полях можно ожидать смещение не только периферийных участков зависимости  $m(T)$  к границам лабильности структурных переходов, но и полное слияние магнитного FM–PM, NM–PM (типа порядок–беспорядок) и структурного (orth)  $\leftrightarrow$  (hex) (типа порядок–порядок) переходов. В этом случае, магнитоструктурные переходы

FM (orth)  $\leftrightarrow$  PM (hex) при конечном значении величины магнитного поля и переходы NM (orth)  $\leftrightarrow$  PM (hex) при  $H_{0z} = 0$ , приводящие к магнитному беспорядку будут переходами 1-го рода. На практике подобное спонтанное совмещение может быть реализовано при изменении содержания Cr, путем высокотемпературной закалки образцов [6] или при воздействии гидростатического давления [7]. Как видно из рис. 5, при ( $P \geq 2$  kbar) при „низких“ температурах ( $T_p \leq T_N < T < T_{11}$ ) изменение намагниченности формируется как плавная безгистерезисная функция  $m(T)$ . В высокотемпературной области ( $T_{11}(P) < T < T_{12}(P)$ ) наблюдается слабая аномалия зависимости  $m(T)$ , рис. 5, *b, d*. Эта аномалия, порожденная смещением под действием магнитного поля периферийного участка магнитного разупорядочения (FM)  $\leftrightarrow$  (PM) и структурного перехода 1-го рода порядок–порядок (hex)  $\leftrightarrow$  (orth), является причиной расщепления обратной магнитной восприимчивости, рис. 1. При высоких давлениях  $P \geq 10$  kbar зависимости  $m(T)$  демонстрируют ярко выраженный переход 1-го рода, сопровождающийся скачкообразным изменением намагниченности —  $\Delta_1 m, \Delta_2 m$  и температурным гистерезисом  $\Delta T$ , который определяется характеристиками структурного перехода (hex)  $\leftrightarrow$  (orth) и совпадает с гистерезисом зависимостей  $Q_0(T)$ :  $\Delta(T) = T_{12}(P) - T_{11}(P)$ . Таким образом, теория предсказывает эволюцию изоструктурных переходов

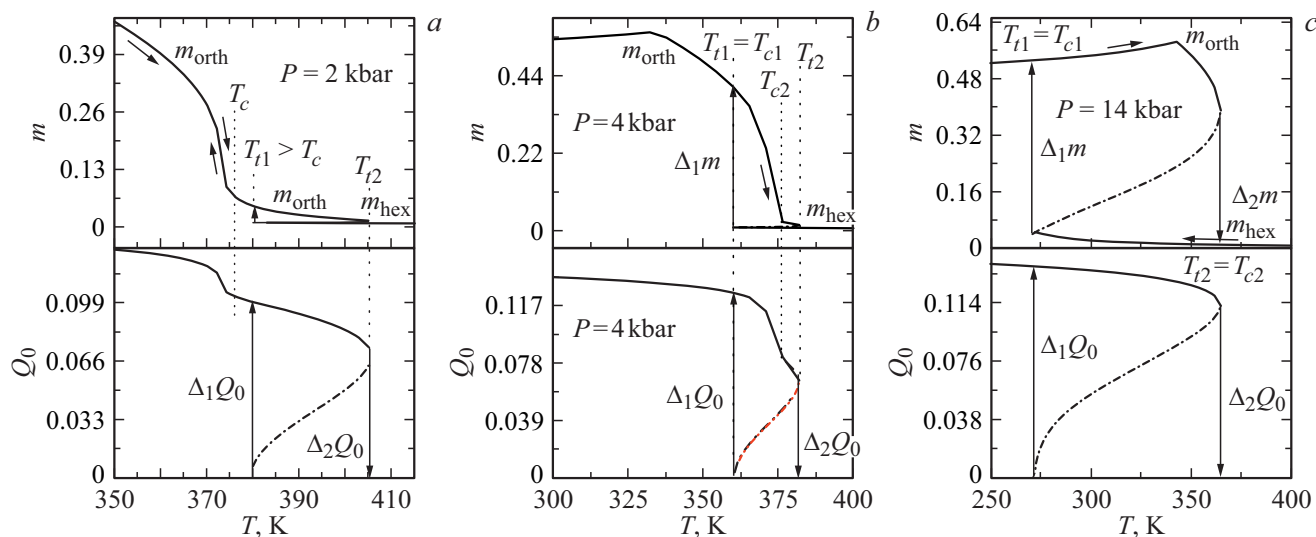


**Рис. 5.** Экспериментальные (а) и теоретические (б) температурные зависимости намагниченности, демонстрирующие барические особенности гелимагнетиков системы  $\text{Mn}_{1-x}\text{Cr}_x\text{NiGe}$ . а —  $x = 0.11$  [7]; б —  $\delta = 0.925$ ;  $H_0 = 0.97$  Т; темные символы — нагрев, светлые — охлаждение.

дов 2-го рода  $\text{FM}(\text{orth}) \Leftrightarrow \text{PM}(\text{orth})$  ( $H_{0c} = 0.97$  Т) или  $\text{NM}(\text{orth}) \Leftrightarrow \text{PM}(\text{orth})$  ( $H_{0c} = 0$  Т) к магнитоструктурным переходам 1-го рода  $\text{FM}, \text{NM}(\text{orth}) \Leftrightarrow \text{PM}(\text{hex})$  в процессе возрастания давления. Этот результат подтверждается экспериментальными исследованиями температурных зависимостей  $M(T)$  в магнитном поле  $H_0 = 0.97$  Т [7]. Об эволюционном характере процесса говорит и тот факт, что при промежуточных величинах давления ( $0 < P < 10$  kbar) теория предсказывает фазовые переходы, в которых изменение рода происходит при реверсивном изменении температуры. Например, при  $P = 4$  kbar, согласно рис. 5, б при понижении температуры наблюдается скачкообразное возрастание намагниченности, как при переходах 1-го рода. Скачок намагниченности —  $\Delta_1 m$  составляет 72% от максимального значения.

При обратном увеличении температуры уменьшение намагниченности на 96% происходит непрерывно как при переходах 2-го рода. При этом температуры скачкообразного возникновения и плавного исчезновения намагниченности разделены температурным гистерезисом. Эти переходы будем называть реверсивными. Экспериментальное обнаружение реверсивных переходов в сплавах с  $x = 0.11$  при  $P = 4\text{--}5.5$  kbar [7], делает актуальным вопрос о механизме их возникновения. Разрешение этого вопроса может быть получено из анализа совмещенных температурных зависимостей параметров магнитного и структурного порядков, для трех характерных давлений, рис. 6. Анализ зависимостей на рис. 6 при  $P = 4$  kbar показывает, что реверсивные переходы 1-го рода в относительно слабом магнитном поле

возникают при условии, когда условная температура Кюри —  $T_c$ , (при которой снижение намагниченности достигает порядка 90%) удовлетворяет неравенству  $T_{t1}^0 < T_c(P) < T_{t2}^0(P)$ . В этом случае понижение температуры до  $T = T_{t1}$  приводит к магнитоструктурному переходу 1-го рода  $\text{PM}(\text{hex}) \rightarrow \text{FM}(\text{orth})$ , сопровождающемуся существенным скачком намагниченности  $\Delta_1 m$  вполне сопоставимым с ее максимальным значением. Обратное повышение температуры при этом приводит плавному изоструктурному снижению намагниченности в пределах ромбического состояния. Это можно интерпретировать как частичную трансформацию периферийного магнитоструктурного перехода 1-го рода подмагниченный беспорядок–беспорядок в реверсивный магнитоструктурный переходом 1-го рода ( $\text{PM}(\text{hex}) \rightarrow \text{FM}(\text{orth})$ ). При более высоких давлениях, например 14 kbar, рис. 5 происходит полная трансформация периферийного магнитоструктурного перехода 1-го рода беспорядок (hex)–беспорядок (orth) в обычный магнитоструктурный переход 1-го рода ( $\text{PM}(\text{hex}) \rightarrow \text{FM}(\text{orth})$ ), когда оба скачка намагниченности  $\Delta_1 m, \Delta_2 m$  соизмеримы с максимумом намагниченности. При давлениях менее 4 kbar когда  $T_c(P) < T_{t1}^0(P) < T_{t2}^0(P)$  высокотемпературные периферийные переходы 1-го рода беспорядок (hex)–беспорядок (orth) существенно отделены от плавных зависимостей  $m_{\text{orth}}(T)$ , которые можно интерпретировать как подмагниченные изоструктурные переходы 2-го рода ( $\text{PM}(\text{hex}) \rightarrow \text{FM}(\text{orth})$ ). На рис. 6, а приведены зависимости  $m(T), Q_0 T$ , рассчитанные при  $P = 2$  kbar, иллюстрирующие сказанное. Здесь скачки  $\Delta_1 m(T_{t1}) \ll m(T_p), \Delta_2 m(T_{t2}) \ll \Delta_1 m(T_{t1}) \ll m(T_p)$  сопро-



**Рис. 6.** Теоретические зависимости  $m(T)$ ,  $Q_0(T)$ , демонстрирующие стимулированную давлением эволюцию магнитоструктурных переходов 1-го рода: *a* — периферийных ( $P = 2$  kbar), *b* — реверсивных ( $P = 4$  kbar); *c* — полноценных для ( $P = 14$  kbar).

обладающие магнитоструктурные периферийные переходы 1-го рода магнитный беспорядок–беспорядок — существенно ниже максимального значения намагниченности —  $m(T_p)$ . В этом случае для их фиксации на эксперименте требуется особо чувствительные методы.

## 5. Заключение

Анализ экспериментальных результатов гелимагнитных систем в рамках теории взаимодействующих мягких мод позволил предсказать, обнаружить экспериментально и дать объяснение ряду магнитоструктурных эффектов, наблюдаемых в системе германидов  $Mn_{1-x}Cr_xNiGe$ .

Дано объяснение аномальному поведению обратной парамагнитной восприимчивости в области температур структурного парамагнитного перехода.

Показано, что сближение характерных температур для магнитного упорядочения и температур лабильности парамагнитного гексагонального (РМ( $P6_3/mmc$ )) и гелимагнитного ромбического (НМ( $Pnma$ )) состояний, обусловленное воздействием магнитного поля и гидростатического давления приводит к появлению ранее не исследованных периферийных магнитоструктурных переходов 1-го рода с незначительными скачками намагниченности. При этом периферийные переходы 1-го рода, сопровождающиеся изменением кристаллической структуры, значительно удалены от температуры спонтанного изоструктурного магнитного разупорядочения и обусловлены затягиванием подмагниченной ромбической фазы в область структурного перехода.

Показано, что по мере увеличения давления периферийные переходы трансформируются в реверсивные магнитоструктурные переходы 1-го рода и при еще больших давлениях в полноценные магнитоструктурные переходы 1-го рода со скачками намагниченности соизмеримыми с максимальным значением намагниченности.

## Финансирование работы

Работа выполнена в рамках государственного задания при частичном финансировании РФФИ, грант № 18-07-01320.

## Конфликт интересов

Авторы заявляют, что у них нет конфликта интересов.

## Список литературы

- [1] А.И. Товстолыткин, А.Н. Погорелый, Д.И. Подъяловский, Т.И. Полек, Т.Н. Тарасенко, В.И. Каменев, О.Ф. Демиденко, Г.И. Маковенко, К.И. Анушкевич. Наносистемы, наноматериалы, нанотехнологии **9**, 115 (2011).
- [2] В.И. Вальков, Д.В. Варюхин, А.В. Головчан. ФНТ **34**, 536 (2008).
- [3] В.И. Вальков, Д.В. Варюхин, А.В. Головчан, И.Ф. Грибанов, А.П. Сиваченко, В.И. Каменев, Б.М. Тодрис. ФНТ **34**, 927 (2008).
- [4] И.Ф. Грибанов, А.В. Головчан, Д.В. Варюхин, В.И. Вальков, В.И. Каменев, А.П. Сиваченко, С.Л. Сидоров. ФНТ **35**, 1004 (2009).
- [5] В.И. Вальков, И.Ф. Грибанов, Б.М. Тодрис, А.В. Головчан, В.И. Митюк. ФТТ **60**, 1113 (2018).
- [6] В.И. Вальков, В.И. Каменев, В.И. Митюк, И.Ф. Грибанов, А.В. Головчан, Т.Ю. Деликатная. ФТТ **59**, 266 (2017).
- [7] И.Ф. Грибанов, А.В. Головчан, В.Д. Запорожец, В.И. Каменев, Л.Д. Клищенко, В.В. Коледов, В.И. Митюк, А.П. Сиваченко. ФТВД **28**, 13 (2018).
- [8] V. Penc, A. Hoser, S. Baran, A. Szytuła. Phase Transit. **91**, 118 (2018).
- [9] J. Łażewski, P. Piekarczyk, K. Parlinski. Phys. Rev. B **83**, 054108 (2011).
- [10] Р. Блинц, Б. Жекш. Сегнетоэлектрики и антисегнетоэлектрики. Динамика решетки. Мир, М. (1975).

Редактор Ю.Э. Кутаев